

精细化工中间体

可见光促进 TiO_2 催化合成膦酰亚胺

张益维, 唐晶晶, 王瑛琦, 于晓强*

(大连理工大学 精细化工国家重点实验室, 辽宁 大连 116024)

摘要: 脲酰亚胺类化合物广泛应用于有机合成、生物医药以及高分子等领域, 开发其绿色、高效合成新方法具有重要的科学意义。室温下, 对可见光促进 TiO_2 催化 3-苯基-1,4,2-二噁唑-5-酮 (I a) 和三苯基膦 (II a) 合成 N-(三苯基膦)苯甲酰亚胺的反应条件进行了优化, 确定反应的最优条件为: 化合物 I a 0.20 mmol、化合物 II a 0.24 mmol, TiO_2 用量为化合物 I a 物质的量的 20%, 二氯甲烷 3 mL, 12 W 蓝光 LED 作为光源, 室温反应 24 h。产物收率可达 97%。对底物范围进行了考察, 利用 ^1H NMR、 ^{13}C NMR、HRMS 对产物结构进行了确证。

关键词: 脲酰亚胺; 可见光; TiO_2 ; 酰胺化; 催化; 精细化工中间体

中图分类号: TQ426; TQ226.3 文献标识码: A 文章编号: 1003-5214(2022)01-0212-05

Visible light promoting the synthesis of phosphinimides catalyzed by TiO_2

ZHANG Yiwei, TANG Jingjing, WANG Yingqi, YU Xiaoqiang*

(State Key Laboratory of Fine Chemicals, Dalian University of Technology, Dalian 116024, Liaoning, China)

Abstract: Phosphinimides are widely used in organic synthesis, biomedicine and polymer fields. It is of great scientific significance to develop a new efficient and green method for the synthesis of phosphinimides. At room temperature, the reaction conditions for synthesis of N-(triphenylphosphine) phosphonimide from 3-phenyl-1,4,2-dioxazole-5-ketone (I a) and triphenylphosphine (II a) catalyzed by TiO_2 under visible light were optimized. The optimal conditions were obtained as follows: Compound I a of 0.20 mmol, compound II a of 0.24 mmol, TiO_2 dosage of 20% (based on the amount of substance of compound I a), dichloromethane of 3 mL, 12 W blue LED used as light source and reaction time of 24 h. Under the above-mentioned conditions, the yield of N-(triphenylphosphine)phosphonimide was up to 97%. And the range of substrates was investigated. The structures of product were confirmed by ^1H NMR, ^{13}C NMR and HRMS.

Key words: phosphinimides; visible light-induced; TiO_2 ; amidation; catalysis; fine chemicals intermediates

含 $\text{N}=\text{P}$ 的化合物在天然产物及精细化学品中广泛存在^[1-2]。目前构建 $\text{N}=\text{P}$ 骨架的方法主要是 Staudinger 反应^[3]和 Kirsanov 反应^[4], 前者需要使用有机叠氮化合物, 具有一定的爆炸危险, 且反应收率较低^[5]; 后者使用的溴化三苯基膦盐需要溴水参与成盐, 毒性较大且步骤繁杂。因此, 开发绿色高效合成膦酰亚胺新方法具有重要的意义。

近年来, 1,4,2-二噁唑-5-酮作为一种新型的酰胺化试剂受到了广泛关注^[6-8]。与以往叠氮化合物^[9-10]、2,4-二硝基羟胺 (DPH)^[11]、N-甲基磺酰羟胺^[12-13]等

酰胺化试剂相比, 1,4,2-二噁唑-5-酮具有很大优势, 其可以在室温下被过渡金属活化脱羧形成金属内春中间体, 进而完成对底物的插入^[14]。目前, 对于该酰胺化试剂的研究主要集中在 C(sp^2)—H 酰胺化^[15-16]、C(sp^3)—H 酰胺化^[17-18]、烯丙基酰胺化^[19]和 N—H 酰胺化^[20]等, 但对于氮磷偶联反应的研究鲜有文献报道。

本文拟报道室温下可见光促进 TiO_2 催化三苯基膦与二噁唑烷酮的 $\text{N}=\text{P}$ 偶联反应来合成膦酰亚胺类化合物, 旨在为制备膦酰亚胺类化合物提供一种绿色、高效、简便的方法。

收稿日期: 2021-04-29; 定用日期: 2021-05-24; DOI: 10.13550/j.jxhg.20210445

基金项目: 国家自然科学基金 (21572028, 21872015); 辽宁省高等学校杰出青年学者成长计划 (LJQ2015027)

作者简介: 张益维 (1996—), 男, 硕士生。联系人: 于晓强 (1976—), 男, 教授, E-mail: yuxiaoqiang@dlut.edu.cn。

1 实验部分

1.1 试剂与仪器

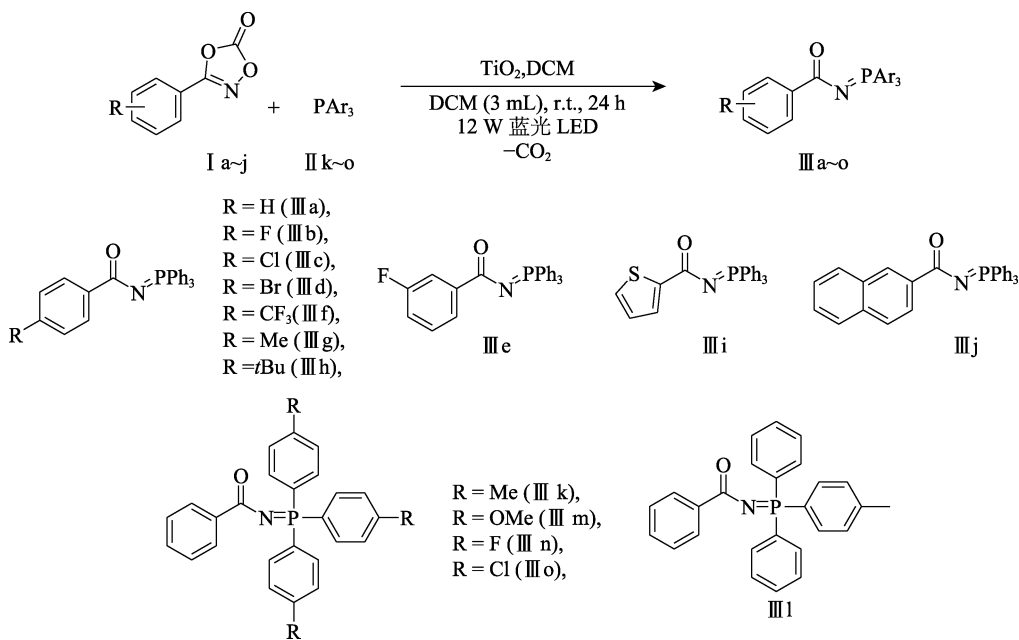
二氯甲烷 (DCM), AR, 西陇科学股份有限公司; 二氯乙烷 (DCE)、1,4-二氧六环、*N,N*-二甲基甲酰胺 (DMF), AR, 国药集团化学试剂有限公司; TiO_2 (P25), 无水硫酸钠, AR, 天津市科密欧化学试剂有限公司; 4-氟苯甲酰氯、4-氯苯甲酰氯、4-溴苯甲酰氯、3-氟苯甲酰氯、4-甲基苯甲酰氯、4-叔丁基苯甲酰氯、噻吩甲酰氯、2-萘苯甲酰氯、三苯基膦、三(4-甲基苯基)膦、三(4-甲氧基苯基)膦、三(4-氟苯基)膦、三(4-氯苯基)膦、二苯基甲苯基膦, 质量分数均为 98%, 安耐吉化学试剂有限公司。

ZF-20D 型暗箱式紫外分析仪, 巩义市予华仪器有限公司; DHG-9123A 型电热恒温鼓风干燥箱, 上海精宏实验设备有限公司; Avance II 400 型超导核磁共振波谱仪, 瑞士 Bruker 公司; G6224A 液相色谱/飞行时间联用质谱仪, 英国 Agilent 公司。

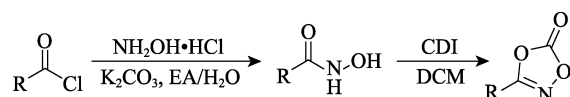
1.2 脲类化合物的合成

1.2.1 3-芳基-1,4,2-二恶唑-5-酮的合成

合成路线如下所示:



以 *N*-(三苯基膦)苯甲酰亚胺 (IIIa) 的合成为例。向 25 mL Schlenk 瓶中加入 Ia 0.0326 g (0.20 mmol)、三苯基膦 (PPh_3) 0.0629 g (IIa , 0.24 mmol)、 TiO_2 0.0032 g (0.04 mmol)、DCM 3 mL, 在蓝光 LED (12 W) 下室温搅拌 24 h, 其中光源与反应器距离为 4 cm, 反应结束后, 减压旋蒸, 使用 [V (石油醚) : V (乙酸乙酯) = 3 : 1] 混合液作为洗脱剂进行柱层析分离纯化得到 0.0880 g 白色晶状固体, 熔点 198~200 °C (文献值 195~196 °C^[21]), 收率为 97%。 ^1H NMR (CDCl_3 ,



以 3-苯基-1,4,2-二恶唑-5-酮 (Ia) 的合成为例。向 250 mL 圆底烧瓶中加入盐酸羟胺 ($\text{NH}_2\text{OH}\cdot\text{HCl}$) 1.39 g (20 mmol)、无水 K_2CO_3 2.76 g (20 mmol)、乙酸乙酯 (EA) 140 mL、水 20 mL。在 0 °C 剧烈搅拌下加入苯甲酰氯, 随后反应 12 h。反应结束后用水稀释, 用乙酸乙酯萃取。得到的有机相用饱和食盐水洗 3 次, 用无水硫酸钠干燥, 减压旋蒸, 得到的粗产品苯甲羟肟酸用石油醚重结晶, 得到 2.41 g 产品, 收率 88%。

向 250 mL 圆底烧瓶中加入制备好的苯甲羟肟酸 2.60 g (19 mmol)、无水 DCM 150 mL。室温搅拌下加入二碳酸基咪唑 4.62 g (CDI, 30 mmol), 反应 30 min。反应结束后用 1 mol/L 盐酸溶液稀释, 用 DCM 萃取, 得到的有机相用无水硫酸钠干燥后, 用石油醚重结晶, 真空干燥后得到 2.67 g 淡黄色固体, 收率为 86%。

1.2.2 脲类化合物的合成

合成路线如下所示:

合成路线如下所示:

400 MHz), δ : 8.35 (d, J = 6.6 Hz, 2H), 7.95~7.80 (m, 6H), 7.60~7.53 (m, 3H), 7.52~7.40 (m, 9H); ^{13}C NMR (CDCl_3 , 100 MHz), δ : 176.36 (d, $J_{\text{C}-\text{P}}$ = 8.1 Hz), 138.71 (d, $J_{\text{C}-\text{P}}$ = 20.5 Hz), 132.74 (d, $J_{\text{C}-\text{P}}$ = 9.8 Hz), 132.29 (d, $J_{\text{C}-\text{P}}$ = 2.8 Hz), 130.74, 129.60 (d, $J_{\text{C}-\text{P}}$ = 2.4 Hz), 128.74 (d, $J_{\text{C}-\text{P}}$ = 12.2 Hz), 128.48 (d, $J_{\text{C}-\text{P}}$ = 98.9 Hz), 127.72。

N-(三苯基膦)-4-氟苯甲酰亚胺 (IIIb): 白色固体, 收率 82%, 熔点 180~182 °C (文献值 178~180 °C^[22])。 ^1H NMR (CDCl_3 , 400 MHz), δ : 8.38~8.28 (m, 2H),

7.88~7.77 (m, 6H), 7.60~7.53 (m, 3H), 7.48~7.45 (m, 6H), 7.09~7.00 (m, 2H); $^{13}\text{CNMR}$ (CDCl_3 , 100 MHz), δ : 175.35 (d, $J_{\text{C}-\text{P}} = 7.6$ Hz), 164.83 (d, $J_{\text{C}-\text{F}} = 247.8$ Hz), 135.03 (d, $J_{\text{C}-\text{P}} = 23.3$ Hz), 133.27 (d, $J_{\text{C}-\text{P}} = 9.9$ Hz), 132.40 (d, $J_{\text{C}-\text{P}} = 2.8$ Hz), 131.89 (dd, $J_{\text{C}-\text{F}} = 8.7$ Hz, $J_{\text{C}-\text{P}} = 2.5$ Hz), 128.83 (d, $J_{\text{C}-\text{P}} = 12.3$ Hz), 128.40 (d, $J_{\text{C}-\text{P}} = 96.7$ Hz), 114.50 (d, $J_{\text{C}-\text{F}} = 21.3$ Hz)。

N-(三苯基膦)-4-氯苯甲酰亚胺 (IIIc): 白色固体, 收率 78%, 熔点 163~165 °C (文献值 152~154 °C^[23])。 $^1\text{HNMR}$ (CDCl_3 , 400 MHz), δ : 8.27 (d, $J = 8.5$ Hz, 2H), 7.87~7.77 (m, 6H), 7.59~7.53 (m, 3H), 7.51~7.44 (m, 6H), 7.38~7.32 (d, $J = 8.4$ Hz, 2H); $^{13}\text{CNMR}$ (CDCl_3 , 100 MHz), δ : 175.27 (d, $J_{\text{C}-\text{P}} = 7.7$ Hz), 137.28 (d, $J_{\text{C}-\text{P}} = 20.9$ Hz), 136.84, 133.22 (d, $J_{\text{C}-\text{P}} = 9.9$ Hz), 132.41 (d, $J_{\text{C}-\text{P}} = 2.8$ Hz), 131.09 (d, $J_{\text{C}-\text{P}} = 2.4$ Hz), 128.81 (d, $J_{\text{C}-\text{P}} = 12.2$ Hz), 127.87, 127.76。

N-(三苯基膦)-4-溴苯甲酰亚胺 (IIId): 白色固体, 收率 86%, 熔点 156~158 °C (文献值 145~146 °C^[22])。 $^1\text{HNMR}$ (CDCl_3 , 400 MHz), δ : 8.23 (d, $J = 8.5$ Hz, 1H), 7.86~7.81 (m, 6H), 7.58~7.54 (m, 4H), 7.51~7.46 (m, 7H); $^{13}\text{CNMR}$ (CDCl_3 , 100 MHz), δ : 175.31 (d, $J_{\text{C}-\text{P}} = 7.7$ Hz), 137.70 (d, $J_{\text{C}-\text{P}} = 20.9$ Hz), 133.19 (d, $J_{\text{C}-\text{P}} = 9.9$ Hz), 132.40 (d, $J_{\text{C}-\text{P}} = 2.8$ Hz), 131.33 (d, $J_{\text{C}-\text{P}} = 2.4$ Hz), 130.83, 128.79 (d, $J_{\text{C}-\text{P}} = 12.3$ Hz), 128.68 (d, $J_{\text{C}-\text{P}} = 99.2$ Hz), 125.47。

N-(三苯基膦)-3-氟苯甲酰亚胺 (IIIf): 白色固体, 收率 62%, 熔点 142~144 °C。 $^1\text{HNMR}$ (CDCl_3 , 400 MHz), δ : 8.10 (d, $J = 7.7$ Hz, 1H), 8.04 (d, $J = 10.1$ Hz, 1H), 7.88~7.79 (d, $J = 12.6$ Hz, 6H), 7.61~7.54 (m, 3H), 7.52~7.48 (m, 6H), 7.41~7.34 (m, 1H), 7.18~7.12 (m, 1H); $^{13}\text{CNMR}$ (CDCl_3 , 100 MHz), δ : 175.00 (dd, $J_{\text{C}-\text{P}} = 7.5$ Hz, $J_{\text{C}-\text{F}} = 3.0$ Hz), 162.68 (d, $J_{\text{C}-\text{F}} = 244.0$ Hz), 141.36 (dd, $J_{\text{C}-\text{P}} = 20.5$ Hz, $J_{\text{C}-\text{P}} = 7.0$ Hz), 133.25 (d, $J_{\text{C}-\text{P}} = 10.0$ Hz), 132.45 (d, $J_{\text{C}-\text{P}} = 3.0$ Hz), 129.14 (d, $J_{\text{C}-\text{F}} = 7.0$ Hz), 128.84 (d, $J_{\text{C}-\text{P}} = 13.0$ Hz), 128.20 (d, $J_{\text{C}-\text{P}} = 99.0$ Hz), 125.18 (dd, $J_{\text{C}-\text{P}} = J_{\text{C}-\text{F}} = 3.0$ 、 2.5 Hz), 117.55 (d, $J_{\text{C}-\text{F}} = 21.0$ Hz), 116.44 (dd, $J_{\text{C}-\text{F}} = 22.0$ Hz, $J_{\text{C}-\text{P}} = 2.0$ Hz); HRMS (ESI), m/Z : [M+H]⁺理论值 400.1267, 实测值 400.1264。

N-(三苯基膦)-4-三氟甲基苯甲酰亚胺 (IIIf): 白色固体, 收率 98%, 熔点 142~144 °C。 $^1\text{HNMR}$ (CDCl_3 , 400 MHz), δ : 8.43 (d, $J = 8.0$ Hz, 2H), 7.83 (dd, $J = 12.0$ 、 6.8 Hz, 6H), 7.65 (d, $J = 8.1$ Hz, 2H), 7.60~7.54 (m, 3H), 7.52~7.45 (m, 6H); $^{13}\text{CNMR}$ (CDCl_3 , 100 MHz), δ : 174.86 (d, $J_{\text{C}-\text{P}} = 7.6$ Hz), 142.05 (d, $J_{\text{C}-\text{P}} = 20.3$ Hz), 133.22 (d, $J_{\text{C}-\text{P}} = 9.9$ Hz), 132.52 (d, $J_{\text{C}-\text{P}} = 2.8$ Hz), 132.22 (q, $J_{\text{C}-\text{F}} = 31.7$ Hz), 129.88 (d, $J_{\text{C}-\text{P}} = 2.4$ Hz), 128.87 (d, $J_{\text{C}-\text{P}} = 12.3$ Hz), 128.04 (d, $J_{\text{C}-\text{P}} = 99.2$ Hz), 124.73 (q, $J_{\text{C}-\text{F}} = 3.8$ Hz), 124.40 (q, $J_{\text{C}-\text{F}} = 270.7$ Hz); HRMS (ESI), m/Z : [M+H]⁺理论值 450.1235, 实测值 450.1230。

N-(三苯基膦)-4-甲基苯甲酰亚胺 (IIIf): 白色固体, 收率 77%, 熔点 160~162 °C (文献值 159~160 °C^[24])。

$^1\text{HNMR}$ (CDCl_3 , 400 MHz), δ : 8.23 (d, $J = 8.1$ Hz, 2H), 7.84 (dd, $J = 12.6$ 、 7.4 Hz, 6H), 7.59~7.53 (m, 3H), 7.48~7.38 (m, 6H), 7.20 (d, $J = 7.9$ Hz, 2H), 2.39 (s, 3H); $^{13}\text{CNMR}$ (CDCl_3 , 100 MHz), δ : 176.39 (d, $J_{\text{C}-\text{P}} = 7.9$ Hz), 140.81, 135.98 (d, $J_{\text{C}-\text{P}} = 20.4$ Hz), 133.18 (d, $J_{\text{C}-\text{P}} = 9.8$ Hz), 132.18 (d, $J_{\text{C}-\text{P}} = 2.8$ Hz), 129.61 (d, $J_{\text{C}-\text{P}} = 2.3$ Hz), 129.02, 128.81 (d, $J_{\text{C}-\text{P}} = 42.3$ Hz), 128.53 (d, $J_{\text{C}-\text{P}} = 98.8$ Hz), 21.54。

N-(三苯基膦)-4-叔丁基苯甲酰亚胺 (IIIh): 白色固体, 收率 64%, 熔点 172~173 °C。 $^1\text{HNMR}$ (CDCl_3 , 400 MHz), δ : 8.28 (d, $J = 8.2$ Hz, 2H), 7.85 (dd, $J = 12.3$ 、 6.9 Hz, 6H), 7.60~7.53 (m, 3H), 7.51~7.40 (m, 8H), 1.34 (s, 9H); $^{13}\text{CNMR}$ (CDCl_3 , 100 MHz), δ : 176.33 (d, $J_{\text{C}-\text{P}} = 7.8$ Hz), 159.93, 136.05 (d, $J_{\text{C}-\text{P}} = 20.4$ Hz), 133.22 (d, $J_{\text{C}-\text{P}} = 9.8$ Hz), 132.19 (d, $J_{\text{C}-\text{P}} = 2.8$ Hz), 129.41 (d, $J_{\text{C}-\text{P}} = 2.3$ Hz), 128.67 (d, $J_{\text{C}-\text{P}} = 12.1$ Hz), 128.62 (d, $J_{\text{C}-\text{P}} = 98.8$ Hz), 124.64, 34.87, 31.38; HRMS (ESI), m/Z : [M+H]⁺理论值 438.1987, 实测值 438.1988。

N-(三苯基膦)-2-噻吩甲酰亚胺 (IIIf): 白色固体, 收率 73%, 熔点 169~170 °C。 $^1\text{HNMR}$ (CDCl_3 , 400 MHz), δ : 7.82 (dd, $J = 12.4$ 、 7.2 Hz, 6H), 7.59~7.53 (m, 3H), 7.48~7.44 (m, 7H), 7.12 (d, $J = 3.3$ Hz, 1H), 6.42 (dd, $J = 3.2$ 、 1.6 Hz, 1H); $^{13}\text{CNMR}$ (CDCl_3 , 100 MHz), δ : 167.94 (d, $J_{\text{C}-\text{P}} = 6.8$ Hz), 152.85 (d, $J_{\text{C}-\text{P}} = 26.1$ Hz), 143.95, 133.15 (d, $J_{\text{C}-\text{P}} = 10.0$ Hz), 132.32 (d, $J_{\text{C}-\text{P}} = 2.8$ Hz), 128.68 (d, $J_{\text{C}-\text{P}} = 12.4$ Hz), 127.91 (d, $J_{\text{C}-\text{P}} = 99.3$ Hz), 114.20, 111.26; HRMS (ESI), m/Z : [M+H]⁺理论值 388.0925, 实测值 388.0925。

N-(三苯基膦)-2-萘甲酰亚胺 (IIIf): 白色固体, 收率 89%, 熔点 168~170 °C (文献值 187~189 °C^[24])。 $^1\text{HNMR}$ (CDCl_3 , 400 MHz), δ : 9.07 (d, $J = 8.4$ Hz, 1H), 8.38 (d, $J = 7.1$ Hz, 1H), 7.88 (dd, $J = 12.8$ 、 7.7 Hz, 7H), 7.81 (d, $J = 8.0$ Hz, 1H), 7.60~7.52 (m, 3H), 7.52~7.39 (m, 10H); $^{13}\text{CNMR}$ (CDCl_3 , 101 MHz), δ : 179.14 (d, $J_{\text{C}-\text{P}} = 8.3$ Hz), 137.23 (d, $J_{\text{C}-\text{P}} = 20.4$ Hz), 134.11, 133.34 (d, $J_{\text{C}-\text{P}} = 9.9$ Hz), 132.37 (d, $J_{\text{C}-\text{P}} = 2.8$ Hz), 131.65 (d, $J_{\text{C}-\text{P}} = 1.4$ Hz), 130.52, 128.88, 128.76, 128.14, 127.93, 127.29, 126.29, 125.42, 124.87。

N-[三(4-甲基苯基)膦]苯甲酰亚胺 (IIIf): 白色固体, 收率 75%, 熔点 182~184 °C。 $^1\text{HNMR}$ (CDCl_3 , 400 MHz), δ : 8.28 (d, $J = 6.8$ Hz, 2H), 7.64 (dd, $J = 12.4$ 、 7.6 Hz, 6H), 7.34~7.28 (m, 3H), 7.27 (d, $J = 8.2$ Hz, 6H), 2.40 (s, 9H); $^{13}\text{CNMR}$ (CDCl_3 , 100 MHz), δ : 176.25 (d, $J_{\text{C}-\text{P}} = 8.0$ Hz), 142.66 (d, $J_{\text{C}-\text{P}} = 3.0$ Hz), 138.98 (d, $J_{\text{C}-\text{P}} = 20.4$ Hz), 133.20 (d, $J_{\text{C}-\text{P}} = 10.2$ Hz), 130.54, 129.58 (d, $J_{\text{C}-\text{P}} = 2.5$ Hz), 129.43 (d, $J_{\text{C}-\text{P}} = 12.7$ Hz), 127.63, 125.52 (d, $J_{\text{C}-\text{P}} = 101.3$ Hz), 21.67 (d, $J_{\text{C}-\text{P}} = 1.4$ Hz); HRMS (ESI), m/Z : [M+H]⁺理论值 424.1830, 实测值 424.1825。

N-(4-甲基苯基二苯基膦)苯甲酰亚胺 (IIIf): 白

色固体, 收率 83%, 熔点 112~113 °C。¹H NMR (CDCl₃, 400 MHz), δ: 8.36 (d, J = 8.1 Hz, 2H), 7.85 (dd, J = 12.3、8.4 Hz, 4H), 7.73 (dd, J = 12.2、8.2 Hz, 2H), 7.59~7.52 (m, 2H), 7.51~7.37 (m, 7H), 7.29 (dd, J = 8.1、2.9 Hz, 2H), 2.41 (s, 3H); ¹³C NMR (CDCl₃, 100 MHz), δ: 176.40 (d, J_{C-P} = 8.0 Hz), 147.98 (d, J_{C-P} = 2.9 Hz), 138.82 (d, J_{C-P} = 20.4 Hz), 133.34 (d, J_{C-P} = 10.4 Hz), 133.26 (d, J_{C-P} = 9.9 Hz), 133.23 (d, J_{C-P} = 2.8 Hz), 130.74, 129.65, 129.57 (d, J_{C-P} = 10.4 Hz), 128.78 (d, J_{C-P} = 99.1 Hz), 128.75 (d, J_{C-P} = 12.1 Hz), 127.75, 125.00 (d, J_{C-P} = 100.8 Hz), 21.76; HRMS (ESI), m/z: [M+H]⁺理论值 396.1517, 实测值: 396.1516。

N-[三(4-甲氧基苯基)膦]苯甲酰亚胺 (**III m**): 白色固体, 收率 62%, 熔点 174~175 °C。¹H NMR (CDCl₃, 400 MHz), δ: 8.33 (d, J = 6.6 Hz, 2H), 7.77 (dd, J = 11.6、8.8 Hz, 6H), 7.48~7.34 (m, 3H), 7.01~6.93 (m, 6H), 3.84 (s, 9H); ¹³C NMR (CDCl₃, 100 MHz), δ: 176.07 (d, J_{C-P} = 8.0 Hz), 162.57 (d, J_{C-P} = 2.8 Hz), 139.02 (d, J_{C-P} = 20.4 Hz), 134.94 (d, J_{C-P} = 11.3 Hz), 130.48, 129.47 (d, J_{C-P} = 2.5 Hz), 127.59, 120.00 (d, J_{C-P} = 105.9 Hz), 114.24 (d, J_{C-P} = 13.2 Hz), 55.37; HRMS (ESI), m/z: [M+H]⁺理论值 472.1678, 实测值: 472.1674。

2 结果与讨论

2.1 反应条件优化

按照 1.2.2 节的实验方法, 以 **I a** 和 **II a** 为底物作为模板反应, 保持其他条件不变, 分别考察溶剂、TiO₂ 用量、反应时间对三苯基膦酰胺化反应的影响, 结果如表 1 所示。

表 1 反应条件优化^①
Table 1 Optimization of reaction conditions^①

序号	TiO ₂ 用量/%	溶剂	时间/h	收率 ^② /%
1	0	DCM	12	4
2	5	DCM	12	42
3	10	DCM	12	66
4	15	DCM	12	78
5	20	DCM	12	84
6	20	1,4-二氧六环	12	痕量
7	20	DCE	12	26
8	20	甲苯	12	18
9	20	DMF	12	未检测到
10	20	CH ₃ CN	12	痕量
11	20	DCM	24	97
12 ^③	20	DCM	12	6

^① 反应条件为 **I a** 0.2 mmol、**II a** 0.24 mmol、TiO₂ 用量 (以 **I a** 的物质的量计, 下同)、溶剂用量 3 mL、室温蓝光 LED (12 W) 下搅拌; ^② 分离收率, 下同; ^③ 避光。

在室温下, 没有加入催化剂 TiO₂, 收率仅为 4% (序号 1)。随后, 对催化剂用量进行了考察 (序号 2~5), 结果表明, 催化剂用量为 20% 时的反应效果最好, 目标产物的分离收率达 84%。此外, 考察了乙腈 (CH₃CN)、DMF、1,4-二氧六环、甲苯、DCE、DCM 对反应的影响 (序号 5~10), 结果表明, 反应在 DCM 中效果最好 (序号 5), 由此确定 DCM 为最佳的反应溶剂。为了进一步提高收率, 延长反应时间至 24 h, 发现目标产物的收率达 97% (序号 11)。最后进行了避光实验, 发现产物收率仅为 6% (序号 12), 结果表明, 可见光在反应过程中起着关键性的作用。因此, 确定了 **III a** 合成的最优反应条件为 **I a** 0.2 mmol、**II a** 0.24 mmol、TiO₂ 用量 20%、DCM 3 mL、12 W 蓝光 LED 作为光源、室温下反应 24 h, 最高收率可达 97%。

2.2 考察底物范围

2.2.1 二噁唑酮拓展范围

在最佳的反应条件下, 考察了带有不同取代基二噁唑酮的反应活性。芳环上带有氟、氯、溴、三氟甲基等吸电子取代基均能有着令人满意的收率 (**III b~f**), 尤其是对位带有三氟甲基的芳环二噁唑酮 (**III f**) 得到了优异的收率 (98%)。此外, 苯环对位连有甲基、叔丁基等给电子基团 (**I g**、**I h**), 也得到了良好的收率 (77%、64%), 这表明芳基二噁唑酮苯环上连有吸电子取代基有利于反应进行。间位吸电子取代基 (**III e**) 相比于对位 (**III b**) 来说, 收率更低, 这表明反应受空间位阻影响。此外, 考察了杂环以及稠环 (**III i**、**III j**) 代替苯环参与反应, 均得到了令人满意的收率 (73%、89%)。

表 2 二噁唑酮拓展范围
Table 2 Scope of dioxazolones

序号	芳基二噁唑酮	产物	收率/%
1	I a	III a	97
2	I b	III b	82
3	I c	III c	78
4	I d	III d	86
5	I e	III e	62
6	I f	III f	98
7	I g	III g	77
8	I h	III h	64
9	I i	III i	73
10	I j	III j	89

2.2.2 三芳基膦拓展范围

在最佳的反应条件下, 考察了带有不同取代基三芳基膦的反应活性 (表 3)。苯环对位带有甲基、甲氧基等给电子基团 (**III k~m**) 均有着良好的收率

(62%~83%)。然而可以看到芳环带有氟、氯等卤素基团(Ⅲn、Ⅲo)则反应未检测到目标产物,表明其不适用于该方法。

表3 三芳基膦拓展范围
Table 3 Scope of triphenylphosphines

序号	三芳基膦	产物	收率/%
1	Ⅱk	Ⅲk	75
2	Ⅱl	Ⅲl	83
3	Ⅱm	Ⅲm	62
4	Ⅱn	Ⅲn	—
5	Ⅱo	Ⅲo	—

注:“—”为未检测到目标产物。

以上反应均未检测到酰基乃春 Curtius 重排产物。底物考察时发现3-芳基-1,4,2-二噁唑-5-酮上连有吸电子基团对反应表现出较高的活性,且三芳基膦取代基的电子效应对反应表现出显著的影响,推测反应可能由三苯基膦亲核进攻 Ti-酰基乃春中间体完成酰胺化过程。

3 结论

本文报道了室温下,可见光促进TiO₂催化三芳基膦和3-芳基-1,4,2-二噁唑-5-酮合成膦酰亚胺类化合物的反应。考察了催化剂用量、溶剂种类和反应时间对反应的影响,确定合成N-(三苯基膦)苯甲酰亚胺的最优条件为:3-苯基-1,4,2-二噁唑-5-酮0.2 mmol,三苯基膦0.24 mmol,TiO₂用量为3-苯基-1,4,2-二噁唑-5-酮物质的量的20%,DCM 3 mL,12 W蓝光LED作为光源,室温反应24 h。最优条件下膦酰亚胺类化合物的最高收率可达97%。该研究反应底物制备简单、条件温和,为合成膦酰亚胺类化合物提供了一条绿色、温和、高效的新方法。

参考文献:

- [1] LIU C R, PARK C M, WANG D F, et al. Phosphite esters: Reagents for exploring S-nitrosothiol chemistry[J]. Organic Letter, 2018, 20(24): 7860-7863.
- [2] SUNDHORO M, JEON S, PARK J, et al. Perfluoroaryl azide Staudinger reaction: A fast and bioorthogonal reaction[J]. Angewandte Chemie International Edition, 2017, 56(40): 12117-12121.
- [3] ALVAREZ J G, GARRIDO S G, CADIERNO V. Iminophosphorane-phosphines: Versatile ligands for homogeneous catalysis[J]. Journal of Organometallic Chemistry, 2014, 751: 792-808.
- [4] DEMANGE M, BOUBEKEUR L, AUFRANT A, et al. A new and convenient approach towards bis(iminophosphoranyl)methane ligands and their dicationic, cationic, anionic and dianionic derivatives[J]. New Journal of Chemistry, 2006, 30(12): 1745-1754.
- [5] BRASE S, GIL C, KNEPPER K, et al. Organic azides: An exploding diversity of a unique class of compounds[J]. Angewandte Chemie International Edition, 2005, 44(33): 5188-5240.
- [6] BIZET V, BUGLIONI L, BOLM C. Light-induced ruthenium-catalyzed nitrene transfer reactions: A photochemical approach towards N-acyl sulfimides and sulfoximines[J]. Angewandte Chemie International Edition, 2014, 53(22): 5639-5642.
- [7] HONG S Y, PARK Y, HWANG Y, et al. Selective formation of γ -lactams via C—H amidation enabled by tailored iridium catalysts[J]. Science, 2018, 359(6379): 1016-1021.
- [8] VANVLIET K M, BRUIN B D. Dioxazolones: Stable substrates for the catalytic transfer of acyl nitrenes[J]. ACS Catalysis, 2020, 10(8): 4751-4769.
- [9] NGUYEN Q, SUN K, DRIVER T G. Rh₂(Ⅱ)-catalyzed intramolecular aliphatic C—H bond amination reactions using aryl azides as the N-atom source[J]. Journal of the American Chemical Society, 2012, 134(17): 7262-7265.
- [10] PARK S H, KWAK J, SHIN K, et al. Mechanistic studies of the rhodium-catalyzed direct C—H amination reaction using azides as the nitrogen source[J]. Journal of the American Chemical Society, 2014, 136(6): 2492-2502.
- [11] JAT J L, PAUDYAL M P, GAO H Y, et al. Direct srom olefins[J]. Science, 2014, 343(6166): 61-65.
- [12] JOHN O R S, KILLEEN N M, KNOWLES D A, et al. Direct α -oxytosylation of carbonyl compounds: One-pot synthesis of heterocycles[J]. Organic Letters, 2007, 9(20): 4009-4012.
- [13] PADUDYAL M P, ADEBESIN A M, BURT S R, et al. Dirhodium-catalyzed C—H arene amination using hydroxylamines[J]. Science, 2016, 353(6304): 1144-1147.
- [14] SAMANTA S, MONDAL S, GHOSH D, et al. Rhodium-catalyzed directed C—H amidation of imidazoheterocycles with dioxazolones[J]. Organic Letters, 2019, 21(12): 4905-4909.
- [15] PARK J, CHANG S. Comparative catalytic activity of group 9 [Cp^{*}M^{III}] complexes: Cobalt-catalyzed C—H amidation of arenes with dioxazolones as amidating reagents[J]. Angewandte Chemie International Edition, 2015, 54(47): 14103-14107.
- [16] PARK J, LEE J, CHANG S. Iterative C—H functionalization leading to multiple amidations of anilides[J]. Angewandte Chemie International Edition, 2017, 56(15): 4256-4260.
- [17] WANG H, TANG G D, LI X W. Rhodium(Ⅲ)-catalyzed amidation of unactivated C(sp³)—H bonds[J]. Angewandte Chemie International Edition, 2015, 54(44): 13049-13052.
- [18] SHI H Y, DIXON D J. Dithiane-directed Rh(Ⅲ)-catalyzed amidation of unactivated C(sp³)—H bonds[J]. Chemical Science, 2019, 10(13): 3733-3737.
- [19] LEI H H, ROVIS T. Ir-catalyzed intermolecular branch-selective allylic C—H amidation of unactivated terminal olefins[J]. Journal of the American Chemical Society, 2019, 141(6): 2268-2273.
- [20] WANG H, JUNG H M, SONG F F, et al. Nitrene-mediated intermolecular N—N coupling for efficient synthesis of hydrazides[J]. Nature Chemistry, 2021, 13: 378-385.
- [21] SHIPILOVSKIKH S A, VAGANOV V Y, DENISOVA E L, et al. Dehydration of amides to nitriles under conditions of a catalytic appel reaction[J]. Organic Letters, 2018, 20(3): 728-731.
- [22] CHOU W N, POMERANTZ M, WITZCAK M K. Carbon-13, nitrogen-15, and phosphorus-31 NMR spectroscopic studies of N-aryloyl-P, P,P-triphenylphosphpha-lambda-5-azenes[J]. The Journal of Organic Chemistry, 1990, 55(2): 716-721.
- [23] KRICHELDORF H R. Reaktionen mit silylaziden; 3. Mitteilung. azidoameisensäureester und N-acyl-phosphinimine[J]. Synthesis, 1972, 12: 695-697.
- [24] FROYEN P. A particularly convenient one-pot synthesis of N-alkoxycarbonyl, N-acyl and N-aryloyl substituted iminophosphoranes; Improved preparation of azidoformates, aryl and alkanoyl azides; An alternative route to complex amides[J]. Phosphorus, Sulfur, and Silicon and the Related Elements, 1993, 78(1/2/3/4): 161-172.